

Клеточная структура пространства разветвлённых накрытий двумерной сферы

Звонилов В.И., Оревков С.Ю.*

7 июля 2020 г.

Аннотация

Для замкнутой ориентированной поверхности Σ пусть $X_{\Sigma,n}$ – пространство классов изоморфности n -листных сохраняющих ориентацию разветвлённых накрытий $\Sigma \rightarrow S^2$ двумерной сферы. Ранее авторами построена компактификация $\bar{X}_{\Sigma,n}$ этого пространства, совпадающая с компактификацией Диаса-Эдидина-Натанзона-Тураева пространства Гурвица $H(\Sigma,n) \subset X_{\Sigma,n}$, состоящего из классов изоморфности накрытий с простыми критическими значениями. С помощью *dessins d'enfants* Гротендика строится клеточная структура этой компактификации. Полученные результаты применяются к пространству тригональных кривых на произвольной поверхности Хирцебруха.

1 Введение

Пусть Σ – замкнутая ориентированная поверхность (фиксированная во всей статье). Сохраняющие ориентацию n -листные разветвлённые накрытия $f_1, f_2 : \Sigma \rightarrow S^2$ двумерной сферы называются *изоморфными*, если существует гомеоморфизм $\alpha : \Sigma \rightarrow \Sigma$ с $f_2 \circ \alpha = f_1$. Пусть $X_{\Sigma,n}$ – множество классов изоморфности таких накрытий. В статье [1] введена топология на этом множестве и построена компактификация $\bar{X}_{\Sigma,n}$ полученного пространства, совпадающая с компактификацией Диаса-Эдидина-Натанзона-Тураева пространства Гурвица $H(\Sigma,n) \subset X_{\Sigma,n}$, состоящего

*Работа первого автора выполнена по теме государственного задания (№ 0729-2020-0055).

из классов изоморфности накрытий с простыми критическими значениями. Точкой пространства $\bar{X}_{\Sigma,n}$ является класс изоморфности вырождения $f' : \Sigma' \rightarrow S^2$ (см. п. 2.2) разветвлённого накрытия $f : \Sigma \rightarrow S^2$, где Σ' - вырождение поверхности Σ (см. п. 2.1).

Основным результатом настоящей работы является введение клеточной структуры, т.е. структуры CW -комплекса, в $\bar{X}_{\Sigma,n}$, использующее понятие графа разветвлённого накрытия сферы. В построенном клеточном пространстве клетками являются классы изоморфности разветвлённых накрытий сферы, имеющих изоморфные графы. Для построения графа разветвлённого накрытия сферы мы следуем принципу, сформулированному в [2, принцип 1.6.1], согласно которому граф на накрывающей поверхности является прообразом базового графа на сфере, содержащего все критические значения накрытия. Выбор базового графа определяется дальнейшим применением клеточной структуры.

В работе [5] построено клеточное разбиение пространства $\bar{X}_{\Sigma,n}$, которое использовано авторами для вычисления гомологий пространства $H(\Sigma, n)$. То, что их разбиение является CW -комплексом, авторы не доказывают (см. [5, п. 4.4]). Однако, замена базового графа (см. ниже замечание 1) позволяет доказать, что это верно, таким же образом, каким мы это делаем для нашего разбиения.

Мы применяем полученные результаты к компактификации пространства j -инвариантов тригональных кривых на линейчатой поверхности, т.е. отображений базы линейчатой поверхности в модулярную кривую, см. [3, п. 4], а также [4, 2.1.2, 3.1.1]. Для работы с тригональными кривыми мы выбираем на сфере базовый граф, названный нами топологическим оседром (см. п. 3.1). Клеточное разбиение работы [5], более экономное по числу клеток, чем наше, не удобно для изучения тригональных кривых, поскольку j -инвариант имеет фиксированные критические значения.

В дальнейших работах мы намереемся применить полученные результаты для вычисления фундаментальной группы пространства неособых тригональных кривых, знание которой поможет получить новые ограничения в топологии вещественных алгебраических многообразий, в частности, поверхностей степени 5 в вещественном проективном пространстве.

Структура статьи: Пункт 2 содержит необходимые сведения из работы [1]: в пунктах 2.1, 2.2 напоминаются понятия вырожденной (особой) поверхности и накрытия ею двумерной сферы, а в п. 2.3 повторяется определение топологии в $\bar{X}_{\Sigma,n}$. В пунктах 3.1, 3.2 изучаются графы разветвлённых накрытий и преобразования графов. В пункте 4 вводится клеточная структура и строится двойственное разбиение пространства

$\bar{X}_{\Sigma,n}$ и его подпространств, а в п. 5 полученные результаты применяются к пространству тригональных кривых.

2 Пространство классов изоморфности разветвлённых накрытий.

Повторим необходимые сведения из статьи [1].

2.1 Особая поверхность

В настоящей работе *поверхностью* будем называть хаусдорфово топологическое пространство со счетной базой, любая точка которого имеет окрестность, гомеоморфную открытому кругу или букету открытых кругов, (или объединению открытого полукруга с диаметром на его границе – для поверхностей с краем, который определяется стандартным образом). Назовем такую окрестность *допустимой*, а круги букета – *ветвями поверхности* в центре букета. Мы будем считать, что каждой точке v такой поверхности приписано некоторое целое неотрицательное число g_v , называемое *локальным родом поверхности в точке v* , причем для всех точек кроме конечного числа и для точек на крае поверхности локальный род равен нулю. То есть, говоря более формально, поверхность – это пара, состоящая из топологического пространства и заданной на нем целозначной функции $v \mapsto g_v$, обладающих перечисленными свойствами. Обозначим через m_v число ветвей поверхности в точке v и через $\mu_v = 2g_v + m_v - 1$ – *число Милнора* точки v . Точки с $\mu_v > 0$ назовем *особыми точками* поверхности. Поверхность с особыми точками назовем *вырожденной*, или *особой*, а без особых точек – *неособой поверхностью*.

Если для каждой точки v с $m_v > 1$ заменить ее допустимую окрестность несвязным объединением кругов, т.е. вырезать эту окрестность и заклеить полученные дыры кругами, то получим поверхность, которую назовем *нормализацией* исходной поверхности. Имеется естественная проекция π нормализации на исходную поверхность, переводящая каждый приклеенный круг в соответствующий круг букета. *Компонентами* поверхности называются компоненты связности ее нормализации. Таким образом, *компонента поверхности является двумерным многообразием*. Поверхность называется *ориентированной/замкнутой*, если ее нормализация ориентирована/замкнута (компактна и без края).

Всюду ниже мы рассматриваем ориентированные поверхности и отображения, сохраняющие их ориентацию.

Пусть Σ_0 – поверхность (в вышеуказанном смысле, возможно, особая), v – любая ее точка и U_v – замыкание допустимой окрестности этой точки. Склеим по их общему краю поверхность $\Sigma_0 \setminus \text{Int}U_v$ и связную компактную ориентируемую (возможно, особую) поверхность \tilde{U}_v с m_v компонентами края, для которой $b_2(\tilde{U}_v) = 0$ (т.е. \tilde{U}_v не имеет компонент без края) и $b_1(\tilde{U}_v) + \sum_{x \in \tilde{U}_v} \mu_x = \mu_v$; здесь через b_i мы обозначаем i -е число Бетти. Назовем полученную поверхность Σ_1 *возмущением поверхности Σ_0 в точке v* , или *локальным возмущением*, а поверхность Σ_0 – *локальным вырождением поверхности Σ_1 , полученными с помощью U_v, \tilde{U}_v* . Композицию конечного числа локальных возмущений/вырождений поверхности назовем *возмущением/вырождением* этой поверхности.

2.2 Возмущения/вырождения накрытий

Отображение f поверхности Σ' в двумерную сферу назовем *разветвленным накрытием*, если сужение композиции $f \circ \pi$ (см. п. 2.1) на каждую компоненту этой поверхности является разветвленным накрытием, сохраняющим ориентацию, и особые точки $v \in \Sigma'$ с $m_v = 1$ являются точками ветвления отображения f . Точки ветвления отображения f , а также особые точки поверхности Σ' мы будем называть *критическими точками* отображения f , а их образы – *критическими значениями*.

Для разветвленного накрытия $f_0 : \Sigma_0 \rightarrow S^2$ пусть v – его критическая точка и \bar{U}_w – замкнутый круг на сфере, содержащий внутри себя точку $w = f_0(v)$ и не содержащий других критических значений накрытия f_0 . Выберем компоненту связности U_v множества $f^{-1}(\bar{U}_w)$, содержащую точку v . Ясно, что это замкнутая допустимая окрестность точки v . Пусть Σ_1 – возмущение поверхности Σ_0 в точке v , полученное с помощью U_v, \tilde{U}_v . Назовем разветвленное накрытие $f_1 : \Sigma_1 \rightarrow S^2$ *возмущением накрытия f_0 в точке v* , или *локальным возмущением*, с областью возмущения \bar{U}_w , а f_0 *локальным вырождением накрытия f_1* , если $f_0 = f_1$ на $\Sigma_0 \setminus \text{Int}U_v = \Sigma_1 \setminus \text{Int}\tilde{U}_v$. Ясно, что $f_1(\tilde{U}_v) = \bar{U}_w$.

Пусть теперь круги \bar{U}_w , выбранные для всех критических значений накрытия f_0 , попарно не пересекаются. Композицию f конечного числа локальных возмущений этого накрытия, имеющих области возмущения \bar{U}_w , назовем *возмущением* этого накрытия. Объединение $V = \bigcup_w \bar{U}_w$ назовем *областью возмущения* накрытия f_0 . При этом накрытие f_0 называется *вырождением* накрытия f .

Далее нам понадобятся вырождения только фиксированной *неособой* поверхности Σ (см. введение).

Пусть $f' : \Sigma' \rightarrow S^2$ – вырождение разветвленного накрытия $f : \Sigma \rightarrow S^2$, отвечающее области возмущения V . Для каждой критической точ-

ки v накрытия f' определены поверхности $U_v \subset \Sigma', \tilde{U}_v \subset \Sigma$. Обозначим через k_1, k_2, \dots, k_{m_v} степени сужений накрытия f' на граничные окружности букета дисков U_v . Ясно, что сумма $\sum_{i=1}^{m_v} k_i$ равна локальной степени $\deg_v f'$ отображения f' в точке v , т.е. кратности этой точки как корня уравнения $w = f'(v)$. *Индексом точки $v \in \Sigma'$* назовем число $\text{ind}_v = \mu_v + \deg_v f'$.

Кратностью критического значения разветвленного накрытия f' назовем сумму уменьшенных на 1 индексов прообразов этого значения. Критическое значение кратности 1 называется *простым*, а не простое – *кратным*.

Ясно, что если два накрытия изоморфны, то для любого возмущения/вырождения f первого из них существует возмущение/вырождение второго, изоморфное f . Поэтому можно говорить о возмущении/вырождении класса изоморфности накрытия.

Пусть $V = \bigcup_{e \in E} D_e \subset S^2$ – объединение попарно непересекающихся замкнутых топологических кругов, где e – фиксированная внутренняя точка круга D_e . Предположим, что критические значения разветвленных накрытий $f_0 : \Sigma_0 \rightarrow S^2, f_1 : \Sigma_1 \rightarrow S^2$ являются простыми и лежат внутри V . Назовем такие накрытия (V, E) -*эквивалентными*, если существуют гомеоморфизмы $\alpha : \Sigma_0 \rightarrow \Sigma_1$ и $\varphi : S^2 \rightarrow S^2$, для которых

- (i) $\varphi \circ f_0 = f_1 \circ \alpha$;
- (ii) точки множества $E \cup (S^2 \setminus \text{Int}V)$ остаются неподвижными под действием гомеоморфизма φ , причём φ изотопен тождественному в классе гомеоморфизмов, оставляющих неподвижными эти точки.

Предложение 1. (см. [1, предложение 4])

Для любого разветвленного накрытия $f_0 : \Sigma_0 \rightarrow S^2$ существует его возмущение $f_1 : \Sigma_1 \rightarrow S^2$ в критической точке v , для которого поверхность $\tilde{U}_v \subset \Sigma_1$ неособа и $\chi(\tilde{U}_v) = 2 - 2g_v - m_v$. Более того, f_1 можно выбрать так, чтобы все его критические значения в области возмущения \bar{U}_w , где $w = f_0(v)$, были простыми и заранее заданными. В последнем случае накрытие f_1 единственно с точностью до (\bar{U}_w, w) -эквивалентности.

2.3 Топология в множестве классов изоморфности разветвленных накрытий.

Напомним, что Σ – неособая ориентированная замкнутая поверхность. Как и во введении, обозначим через $X_{\Sigma, n}$ множество классов изоморф-

ности n -листных разветвленных накрытий $\Sigma \rightarrow S^2$ и через $\bar{X}_{\Sigma,n}$ – множество всех вырождений классов изоморфности накрытий из $X_{\Sigma,n}$.

Для $[f] \in \bar{X}_{\Sigma,n}$ выберем область возмущения V накрытия f . Обозначим через $U_{[f],V} \subset \bar{X}_{\Sigma,n}$ множество классов изоморфности всех возмущений накрытия f , задаваемых областью возмущения V . Другими словами, это те классы возмущений накрытий из $[f]$, множества критических значений которых лежат в V .

Предложение 2. (см. [1, предложение 5]) *Совокупность $\{U_{[f],V} \mid f \in \bar{X}_{\Sigma,n}, V \text{ – область возмущения накрытия } f\}$ образует базу топологии в множестве $\bar{X}_{\Sigma,n}$. Подмножество $X_{\Sigma,n}$ всюду плотно в пространстве $\bar{X}_{\Sigma,n}$ с этой топологией.*

3 Осография

3.1 Граф разветвлённого накрытия сферы

Пусть a – целое положительное число. Выберем на двумерной сфере S^2 две диаметрально противоположные точки – *полюсы*, один полюс изобразим чёрным цветом, другой – крестом и назовём их, соответственно, *•-вершиной* и *×-вершиной*. Соединим эти вершины a полуокружностями – *меридианами*, ориентируем меридианы в направлении от •- к ×-вершине и занумеруем их числами от 1 до a при обходе •-вершины против часовой стрелки. Выберем на (необязательно всех) меридианах конечное множество точек. Назовём *топологическим осоэдром* Θ или просто *осоэдром* ориентированный граф с вершинами в полюсах и в выбранных точках, рёбрами которого являются дуги указанных меридианов, ориентированные так же, как меридианы, причём каждое ребро пометим номером того меридиана, на котором оно лежит. *Стационарными вершинами* назовём •- и ×-вершину, а *мобильными* – остальные вершины. Осоэдр называется *минимальным*, если при $a > 1$ он не содержит рёбер, являющихся меридианами, т.е. соединяющих •-вершину с ×-вершиной.

Пусть $f : \Sigma \rightarrow S^2$ – конечнолистное разветвлённое накрытие сферы ориентированной замкнутой поверхностью Σ , сохраняющее ориентацию. Обозначим через $\Theta(f)$ минимальный осоэдр, множество вершин которого содержит все критические значения накрытия f и любая мобильная вершина является критическим значением (так что стационарные вершины могут не быть критическими значениями). Пусть $a_f = a$ – число меридианов осоэдра $\Theta(f)$. В частности, если f не имеет критических значений, отличных от полюсов, то $a_f = 1$ и $\Theta(f)$ состоит из двух (стационарных) вершин и одного (произвольного) меридиана.

Графом $\Gamma(f)$ разветвлённого накрытия $f : \Sigma \rightarrow S^2$ называется ориентированный граф на поверхности Σ , вершины которого – это, во-первых, прообразы \bullet - и \times -вершин графа $\Theta(f)$, называемые, соответственно, \bullet - и \times -вершинами, (стационарные вершины), и во-вторых – критические точки накрытия f , отличные от стационарных вершин, (мобильные вершины). Пусть $\Theta^1 \subset S^2$ – объединение вершин и рёбер остоэдра $\Theta(f)$. Рёбрами графа $\Gamma(f)$ являются компоненты прообраза $f^{-1}(\Theta^1)$, разрезанного в вершинах графа $\Gamma(f)$, причём каждое ребро ориентировано так же и помечено тем же числом, что и его образ в $\Theta(f)$. Другими словами, $\Gamma(f)$ получается из $f^{-1}(\Theta(f))$ удалением мобильных вершин валентности 2, отличных от особых точек поверхности Σ . (Валентность вершины – число примыкающих к ней рёбер.)

Ясно, что валентности мобильных вершин чётны и не меньше 4, а стационарных – кратны a_f . Например, для n -листного разветвлённого накрытия $f : S^2 \rightarrow S^2$ с двумя критическими точками, лежащими над полюсами, $a_f = 1$, как указано выше, и $\Gamma(f)$ – остоэдр, не минимальный при $n > 1$.

На рисунках 1, 2 показаны примеры графов $\Gamma(f)$ и их образов $\Theta(f)$ для разветвлённых накрытий степеней 2 и 3. На рисунке 2 левая стрелка

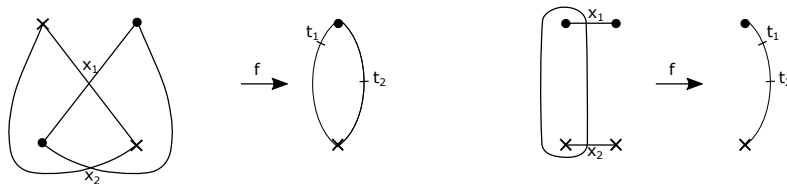


Рис. 1. Графы двулистных разветвлённых накрытий

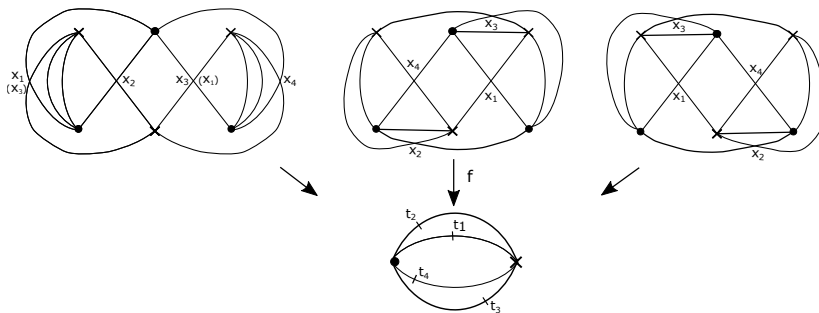


Рис. 2. Графы трёхлистных разветвлённых накрытий

ка отвечает двум накрытиям, переходящим друг в друга перестановкой вершин x_1, x_3 .

Ясно, что для изоморфных накрытий f_1, f_2 графы $\Gamma(f_1)$ и $\Gamma(f_2)$ изоморфны и $\Theta(f_1) = \Theta(f_2)$.

Определение 1. *Осоэдральным графом с параметром a* называется конечный ориентированный граф Γ , вложенный в ориентированную замкнутую поверхность Σ и наделённый следующей структурой:

- (1) рёбра графа Γ помечены числами от 1 до a .
- (2) все особые точки поверхности являются вершинами графа (*особыми* вершинами);
- (3) вершины графа разбиваются на *стационарные* и *мобильные*, стационарные – на \bullet - и \times -вершины (\bullet и \times – *метки*, или *цвета* стационарных вершин);
- (4) валентность каждой стационарной вершины кратна a , а мобильной – чётна;
- (5) все рёбра, примыкающие к \bullet -вершине (\times -вершине), выходят из неё (соответственно, входят в неё) и их метки на каждой компоненте поверхности Σ изменяются циклически от 1 до a при положительном (соответственно, отрицательном) обходе этой вершины, задаваемом ориентацией компоненты поверхности;
- (6) метки всех рёбер, примыкающих к мобильной вершине, одинаковы и задают её *метку*, или *цвет*, причём входящие и выходящие рёбра чередуются на каждой компоненте поверхности;
- (7) каждая грань графа Γ односвязна и имеет на границе по одной \bullet - и \times -вершине.

Заметим, что в силу свойств (2) и (7) граф Γ связан.

Для любой грани F графа Γ , в силу условий (7), (5) и (6), \bullet - и \times -вершины разбивают её границу ∂F на два ориентированных пути $\partial^i F$, $\partial^{i+1} F$, первый из которых состоит из рёбер с меткой i , а второй – с меткой $(i + 1) \bmod a$.

Объединение всех (открытых) рёбер, помеченных числом i , и примыкающих к ним мобильных вершин называется *i -й монохромной частью* графа Γ . Это определение корректно в силу условия (6). Осоэдральный граф, отличный от осоэдра, называется *минимальным*, если он не содержит мобильных вершин валентности 2 и для любого $i = 1, \dots, a$ его

i -я монохромная часть содержит мобильную вершину. Путь в графе Γ называется *монохромным*, если он лежит в монохромной части, т.е. не проходит через стационарные вершины и все его рёбра помечены одним и тем же числом. Определим бинарное отношение \prec на множестве мобильных вершин графа: $u \prec v$, если существует монохромный ориентированный путь, идущий из u в v . Осоздальный граф называется *допустимым*, если отношение \prec является частичным порядком. Ясно, что отношение \prec транзитивно, поэтому оно является частичным порядком тогда и только тогда, когда граф Γ не содержит ориентированных монохромных циклов.

Простейшим примером допустимого осоздального графа является осоздр. Пример недопустимого осоздального графа указан на рис. 3 (жирной линией указан ориентированный монохромный цикл). Мини-

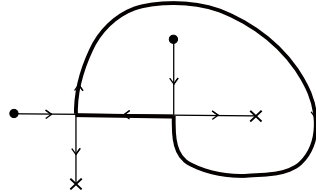


Рис. 3. Недопустимый осоздальный граф

мальный допустимый осоздальный граф (с параметром a) назовём *осографом* (соответственно, *a -осографом*).

Пусть Γ_1, Γ_2 – осоздальные графы. Отображение $\varphi : \Gamma_1 \rightarrow \Gamma_2$ называется *морфизмом* осоздальных графов, если оно сохраняет осоздальную структуру, т.е. переводит вершины, рёбра, грани графа Γ_1 , соответственно, в вершины, рёбра, грани графа Γ_2 , сохраняя тип вершин, ориентации и метки рёбер.

Теорема 1. (i) *Осоздальный граф Γ допустим тогда и только тогда, когда существует морфизм этого графа на осоздр.*

(ii) *Граф Γ можно представить графом разветвлённого накрытия сферы тогда и только тогда, когда он является осографом.*

(iii) *Для данного осографа Γ разветвлённое накрытие f с $\Gamma(f) = \Gamma$ определяется с точностью до изоморфности образами мобильных вершин графа Γ , или, что равносильно, критическими значениями накрытия f с наборами их прообразов.*

Доказательство. Для доказательства первого утверждения воспользуемся идеей доказательства аналогичной теоремы [4, Теорема 4.11].

Пусть Γ – осоэдральный граф с параметром a .

Построим морфизм $f : \Gamma \rightarrow \Theta$, где Θ – осоэдр с a меридианами, мобильные вершины которого зададим в ходе построения. Морфизм переводит стационарные вершины в стационарные. Расстояние от \bullet -вершины осоэдра до точки на его меридиане задаёт на каждом меридиане линейный порядок $<$. Продолжим частичный порядок \prec на множестве вершин i -й монохромной части графа Γ до произвольного линейного порядка и отобразим монотонно это множество на возрастающий набор равноотстоящих друг от друга точек i -го меридиана осоэдра Θ , задав тем самым мобильные вершины осоэдра. Ясно, что полученное отображение продолжается на всю i -ю монохромную часть. Таким образом, для любой грани F графа Γ отображение f задано на обеих частях $\partial^i F$, $\partial^{i+1} F$ её границы. Так как F односвязна, f продолжается на эту грань, переводя её в двуугольник между i -м и $i + 1$ -м меридианами на сфере, что завершает построение морфизма f .

Обратно, линейный порядок $<$ на i -м меридиане осоэдра Θ индуцирует с помощью морфизма $f : \Gamma \rightarrow \Theta$ частичный порядок на множестве вершин i -й монохромной части графа Γ . Поэтому Γ допустим.

Докажем второе утверждение.

Пусть f – разветвлённое накрытие сферы. Поскольку грани графа $\Theta(f)$ не содержат критических значений функции f , грани графа $\Gamma(f)$ односвязны. Справедливость для $\Gamma(f)$ остальных пунктов определения осоэдрального графа сразу следует из определения графа $\Gamma(f)$. Поскольку отображение $f : \Gamma(f) \rightarrow \Theta(f)$ сохраняет ориентацию рёбер, отношение \prec на i -й монохромной части графа $\Gamma(f)$ индуцировано линейным порядком на i -м меридиане графа $\Theta(f)$ и потому является частичным порядком. Следовательно, граф $\Gamma(f)$ допустим и f – морфизм. Кроме того, ясно, что $\Gamma(f)$ минимален и потому является осографом.

Обратно, пусть Γ – осограф на поверхности Σ и $f : \Gamma \rightarrow \Theta$ – морфизм, построенный в доказательстве первого утверждения. Можно считать, что f индуцирован некоторым непрерывным отображением $\Sigma \rightarrow S^2$, которое мы также обозначим через f . Ясно, что точки граней и внутренние точки рёбер являются регулярными точками отображения f . Поэтому все его критические точки изолированы, и f является разветвлённым накрытием.

Докажем третье утверждение. Из доказательств первого и второго утверждений следует существование накрытия f с $\Gamma(f) = \Gamma$ и с заданными образами мобильных вершин графа Γ . Нумерация t_1, \dots, t_k полюсов сферы и этих образов задаёт *созвездие*, т.е. набор перестановок, поро-

дающих группу монодромии накрытия f (см. [2, 1.2.3]). Согласно [2, §1.6], граф Γ вместе с точками t_1, \dots, t_k однозначно определяют это созвездие. Наконец, [2, Предложение 1.2.16] даёт изоморфность разветвлённых накрытий сферы с данным созвездием. \square

Для разветвлённого накрытия $f : \Sigma \rightarrow S^2$ той же буквой будем обозначать соответствующий морфизм $f : \Gamma(f) \rightarrow \Theta(f)$.

Заметим, что существуют накрытия f_1, f_2 с $\Gamma(f_1) \cong \Gamma(f_2)$ и $\Theta(f_1) \not\cong \Theta(f_2)$, поскольку образы двух несравнимых мобильных вершин одного цвета могут быть разными, а могут совпасть. Наименьшая степень таких накрытий равна 4.

Замечание 1. В выборе базового графа на сфере, с помощью которого определяется граф разветвлённого накрытия возможны другие варианты. Можно построить "широтный" вариант теории, заменив осоэдр базовым графом, вершины и рёбра которого лежат на одном меридиане и нескольких параллелях. Такой граф, как и осоэдр, связаны с полярными координатами на плоскости – образе сферы при стереографической проекции из полюса. С прямоугольными координатами на этой плоскости связан базовый граф, образованный букетом окружностей на сфере, касающихся друг друга в точке ∞ . С помощью такого базового графа можно, например, описать клеточное разбиение пространства $N(\Sigma, n)$, построенное в [5].

3.2 Преобразования графов

Для $i = 0, 1$ пусть Γ_i – осограф на поверхности Σ_i и f_i – разветвлённое накрытие с $\Gamma(f_i) = \Gamma_i$. Назовём осограф Γ_1 *возмущением осографа* Γ_0 , а осограф Γ_0 – *вырождением осографа* Γ_1 , если f_1 – возмущение накрытия f_0 .

Ясно, что если Γ_i – a_i -осограф, то $a_1 \geq a_0$.

Операции перехода от Γ_0 к Γ_1 и обратно также назовём *возмущением* и *вырождением осографа*.

Следующие три вырождения назовём *элементарными*:

- (a) вырождение $mob(v_1, v_2)$, стягивающее в мобильную вершину v все параллельные ребра, соединяющие две различные смежные мобильные вершины v_1, v_2 ; при этом v неособа тогда и только тогда, когда v_1, v_2 соединены единственным ребром;
- (b) вырождение $stat(v)$, стягивающее в стационарную вершину все рёбра, соединяющие с мобильной вершиной v одну или несколько ста-

ционарных вершин одного цвета; при этом полученная стационарная вершина неособа тогда и только тогда, когда v соединена с каждой из указанных стационарных вершин единственным ребром;

- (с) вырождение edg , которое вырезает каждую грань F между i -й и $i + 1$ -й монохромными частями графа Γ_1 и склеивает $\partial^i F$ с $\partial^{i+1} F$ так, что никакие две вершины не склеиваются в одну.

Возмущения, обратные к элементарным вырождениям, назовём *элементарными возмущениями*.

Ясно, что элементарные преобразования переводят осографы в осографы, поэтому можно говорить об элементарных преобразованиях накрытий и, более того, их классов изоморфности.

Предложение 3. Пусть f_1 – возмущение накрытия f_0 , имеющее область возмущения V и полученное с помощью $stat^{-1}(v_1)$, где v_1 – критическая точка индекса 2 (т.е. $f_1(v_1)$ – простое критическое значение). Тогда f_1 единственно с точностью до (V, w) -эквивалентности (см. определение в п. 2.2), где $w \in V$ – стационарная вершина графа $\Gamma(f_0)$.

Доказательство. Пусть $f_2 : \Sigma_2 \rightarrow S^2$ – возмущение накрытия f_0 , имеющее ту же область возмущения V и полученное с помощью $stat^{-1}(v_2)$, где v_2 – критическая точка индекса 2. Докажем, что f_1, f_2 являются (V, w) -эквивалентными.

Выберем в (замкнутом) круге $V = \bar{U}_w$ (см. обозначения в п. 2.2) замкнутый сектор D , содержащий точки $f_1(v_1)$ и $f_2(v_2)$. Поскольку v_1, v_2 – критические точки индекса 2, на обеих поверхностях Σ_1, Σ_2 поверхность \tilde{U}_v является кругом, если точка w неособа, и кольцом в противном случае. Поэтому можно считать, что Σ_1, Σ_2 – это одна и та же поверхность Σ . Вне \tilde{U}_v накрытия f_1, f_2 совпадают. В \tilde{U}_v на прообразах граничных радиусов сектора D эти накрытия, очевидно, гомотопны. Эту гомотопию можно продолжить на прообразы сектора D и его дополнения в V , поскольку на всех компонентах этих прообразов, кроме одной, накрытия f_1, f_2 однолиственны, а на оставшейся компоненте двулистно накрывают D с единственной точкой ветвления. \square

4 Клеточная структура

4.1 0-in-граф

Будем считать осоедр Θ подмножеством сферы S^2 , чтобы можно было говорить об углах между меридианами и расстояниях от полюсов до вер-

шин осоэдра. Выделим на сфере меридиан, который назовём *нулевым*. Объединение осоэдра Θ с нулевым меридианом назовём *0-in-осоэдром*. В частности, мы считаем, что для минимального 0-in-осоэдра без мобильных вершин нулевой меридиан является его единственным ребром. Пусть Γ – осоэдральный граф с параметром $a+1$, рёбра которого помечены числами от 0 до a . Граф Γ назовём *0-in-графом* (точнее, *a-0-in-графом*), если существует морфизм $f : \Gamma \rightarrow \Theta$, переводящий 0-ю монохромную часть в нулевой меридиан, Γ не содержит мобильных вершин валентности 2 и для любого $i = 1, \dots, a$ его i -я монохромная часть содержит мобильную вершину. Таким образом, 0-in-граф является осографом тогда и только тогда, когда его 0-я монохромная часть содержит хотя бы одну (мобильную) вершину; если же его 0-я монохромная часть не содержит вершин, он будет осографом после её удаления.

Пусть Γ – 0-in-граф. Назовём его *0-in-графом разветвлённого накрытия* f , если Γ есть объединение графа этого накрытия с прообразом нулевого меридиана. Возмущения/вырождения 0-in-графов определяются с помощью накрытий так же, как и возмущения/вырождения осографов.

4.2 Отображение L

Для a -0-in-графа Γ на поверхности Σ обозначим через E_Γ множество классов изоморфности разветвлённых накрытий $f : \Sigma \rightarrow S^2$, 0-in-графы которых изоморфны Γ . Для каждого $i = 0, 1, \dots, a$ занумеруем мобильные вершины i -й монохромной части графа Γ , обозначив их через v_{ij} . Пусть $\nu_i = \#\{v_{ij}\}$ – число таких вершин и $k = \sum_i \nu_i$. Обозначим через $L_\Gamma : E_\Gamma \rightarrow (S^2)^k$ отображение, переводящее накрытие f в набор $f(v_{ij})$ его критических значений, отличных от полюсов.

Если Γ не имеет мобильных вершин, то $a = 0$ и отображение L_Γ не определено.

Обозначим через $\sigma : [0, 2\pi] \times [0, \pi] \rightarrow S^2$ параметризацию сферы, где $\sigma(\lambda, \varphi)$ – точка с долготой λ и широтой φ , причём $\sigma(0 \times [0, \pi]) = \sigma(2\pi \times [0, \pi])$ – нулевой меридиан, а $\sigma(0, 0)$ и $\sigma(0, \pi)$ – соответственно, \bullet - и \times -вершины. Пусть $\sigma^k : ([0, 2\pi] \times [0, \pi])^k \rightarrow (S^2)^k$ – произведение параметризаций. Ясно, что сужение отображения σ^k на $([0, 2\pi] \times (0, \pi))^k$ является топологическим вложением. Обозначим через $\lambda_{ij} \in [0, 2\pi]$, $\varphi_{ij} \in [0, \pi]$ координаты в $([0, 2\pi] \times [0, \pi])^k$, где $i = 0, 1, \dots, a$, $j = 1, \dots, \nu_i$.

Теорема 2. *Отображение L_Γ – топологическое вложение. Множество $\mathring{M} = (\sigma^k)^{-1}(L_\Gamma(E_\Gamma)) \cap ([0, 2\pi] \times [0, \pi])^k$ является открытым выпуклым многогранником размерности $k + a$.*

Доказательство. Если $L_\Gamma([f_1]) = L_\Gamma([f_2])$, то множества критических значений накрытий f_1, f_2 совпадают и графы $\Gamma(f_1), \Gamma(f_2)$ изоморфны. Следовательно, по п. 3 теоремы 1 $[f_1] = [f_2]$ и L_Γ инъективно.

Для $[f] \in E_\Gamma$ внутренность области возмущения V накрытия f , очевидно, задаёт окрестность \tilde{V} точки $x = L_\Gamma([f])$. Согласно теореме 1, класс $[f]$ однозначно определяется графом Γ и набором точек $f(v_{ij})$. Поэтому $L_\Gamma(E_\Gamma \cap U_{[f],V}) = \tilde{V} \cap L_\Gamma(E_\Gamma)$. Обратно, любая окрестность \tilde{V} точки x задаёт область возмущения V накрытия f с $L_\Gamma(E_\Gamma \cap U_{[f],V}) = \tilde{V} \cap L_\Gamma(E_\Gamma)$. Учитывая предложение 2, получаем, что L_Γ устанавливает биекцию между базами топологий в точке $[f]$ и в точке x . В силу сказанного выше, L_Γ – инъекция, поэтому L_Γ – топологическое вложение.

Из доказательства теоремы 1 следует, что каждый класс $[f] \in E_\Gamma$ однозначно определяется следующими данными: 1) a меридианами осяздр $\Theta(f)$, причём если i -й меридиан получается из нулевого поворотом на угол x_i , то $0 < x_1 < x_2 < \dots < x_a < 2\pi$, и 2) образами мобильных вершин графа Γ , удовлетворяющих условию $v_{ij} \prec v_{ik} \Leftrightarrow x_{ij} < x_{ik}$, где x_{ij} – широта точки $f(v_{ij})$. Поэтому, учитывая то, что сужение отображения σ^k на $((0, 2\pi) \times (0, \pi))^k$, как отмечено выше, является топологическим вложением, получаем, что $\overset{\circ}{M}$ задаётся в $([0, 2\pi] \times [0, \pi])^k$ уравнениями $\lambda_{01} = \lambda_{02} = \dots = \lambda_{0\nu_0} = 0$, $\lambda_{i1} = \lambda_{i2} = \dots = \lambda_{i\nu_i}, i = 1, \dots, a$ и указанными выше неравенствами для долгот и широт образов мобильных вершин графа Γ . Следовательно, $\overset{\circ}{M}$ является открытым выпуклым многогранником размерности $k + a$. □

Следствие 1. *Пространство $\bar{X}_{\Sigma, n}$ разбивается на открытые клетки E_Γ . Для a -0-ип-графа Γ размерность клетки E_Γ равна $\nu_0 + \sum_{i=1}^a (1 + \nu_i) = k + a$, где ν_i – число мобильных вершин i -й монохромной части графа Γ .* □

Замечание 2. *Из доказательства теоремы 2 следует, что $\overset{\circ}{M}$ задаётся в $([0, 2\pi] \times [0, \pi])^k$ уравнениями и неравенствами для долгот и широт образов мобильных вершин графа Γ , указанными в теореме. Поэтому в качестве координат в $\overset{\circ}{M}$ можно взять долготы $x_1 = \lambda_{11}, x_2 = \lambda_{21}, \dots, x_a = \lambda_{a1}$ и широты $x_{ij} = \varphi_{ij}$ образов мобильных вершин v_{ij} графа Γ , где $i = 0, 1, \dots, a, j = 1, \dots, \nu_i$.* □

4.3 Характеристическое отображение клетки

По теореме 2 множество $\overset{\circ}{M}$ является открытым выпуклым многогранником и потому гомеоморфно открытому шару $\text{Int}D^{\dim E_\Gamma}$. Обозна-

чим через M замыкание этого множества в $([0, 2\pi] \times [0, \pi])^k$. Ясно, что $M \cong D^{\dim E_\Gamma}$ – ограниченный замкнутый многогранник.

Теорема 3. *Обозначим через \bar{E}_Γ объединение клетки E_Γ с клетками, отвечающими всем вырождениям 0-ип-графа Γ . Тогда*

- (i) \bar{E}_Γ – замыкание клетки E_Γ ;
- (ii) *Существует характеристическое отображение $\chi_\Gamma : M \rightarrow \bar{X}_{\Sigma, n}$ клетки E_Γ , т.е. χ_Γ переводит $\overset{\circ}{M}$ гомеоморфно на E_Γ , а ∂M – в объединении клеток размерности $< \dim E_\Gamma$.*
- (iii) $\chi_\Gamma(M) = \bar{E}_\Gamma$.

Доказательство. (i) Пусть $[f_0]$ – вырождение класса $[f_1] \in E_\Gamma$ и V – соответствующая область возмущения класса $[f_0]$. Для любой другой области возмущения V_1 этого класса композиция $\psi \circ f_1$, где ψ – гомеоморфизм сферы на себя, переводящий V в V_1 , является возмущением класса $[f_0]$, лежащим в E_Γ и отвечающим области возмущения V_1 . Поскольку совокупность $\{U_{[f_0], V}\}_V$ образует базу топологии в точке $[f_0]$, эта точка лежит в замыкании клетки E_Γ .

Обратно, пусть $[f_0]$ – точка прикосновения множества E_Γ . Тогда для некоторой области возмущения V класса $[f_0]$ окрестность $U_{[f_0], V}$ этой точки пересекается с E_Γ . Поэтому $[f_0] \in \bar{E}_\Gamma$.

- (ii) Положим $\chi_\Gamma|_{\overset{\circ}{M}} = L_\Gamma^{-1} \circ \sigma^k : \overset{\circ}{M} \rightarrow \bar{X}_{\Sigma, n}$ и продолжим χ_Γ на ∂M обратной индукцией по размерности граней многогранника, доказав при этом, что образ каждой открытой грани является клеткой. Пусть на открытую грань F_1 отображение χ_Γ продолжено и $\chi_\Gamma(F_1) = E_{\Gamma_1}$ – клетка. Возьмём открытую грань F_0 , лежащую на границе грани F_1 с $\dim F_0 = \dim F_1 - 1$, и точку $x \in F_0$. Чтобы задать класс $[f_0] = \chi_\Gamma(x)$, достаточно указать, согласно теореме 1, граф $\Gamma_0 = \Gamma(f_0)$ и образы его мобильных вершин при отображении f_0 . При этом возможны следующие случаи.

- (a) Грань F_0 лежит на границе полупространства $x_{ij} \leq x_{ik}$ (см. обозначения координат в замечании 2). Из описания образа отображения L_Γ (см. доказательство теоремы 2) следует, что существуют класс $[f_1] \in E_{\Gamma_1}$ и мобильные вершины v_{ij}, v_{ik} графа Γ_1 , для которых $f_1(v_{ij}), f_1(v_{ik})$ являются соседними вершинами осоедра $\Theta(f_1)$, причём широты последних удовлетворяют неравенству $x_{ij} < x_{ik}$. Поэтому v_{ij}, v_{ik} являются смежными и $v_{ij} \prec v_{ik}$. В этом случае граф Γ_0 получается из графа

Γ_1 элементарным вырождением $mob(v_{ij}, v_{ik})$, стягивающим все параллельные ребра, соединяющие v_{ij} с v_{ik} .

- (b) Грань F_0 задаётся уравнением $x_{i1} = 0$ или $x_{iv_i} = \pi$. Тогда существуют класс $[f_1] \in E_{\Gamma_1}$ и такая мобильная вершина v графа Γ_1 , что в осоедре $\Theta(f_1)$ вершина $f_1(v)$ смежна с полюсом. Поэтому v соединена рёбрами либо с одной, либо с несколькими стационарными вершинами одного цвета. Следовательно, граф Γ_0 получается из графа Γ_1 элементарным вырождением $stat(v)$, стягивающим в стационарную вершину все рёбра, соединяющие эти стационарные вершины с v . При этом если $\nu_i = 1$, то в полученном графе i -я монохромная часть удаляется.
- (c) Грань F_0 задаётся уравнением $x_1 = 0$, $x_i = x_{i+1}$ или $x_a = 2\pi$. Тогда граф Γ_0 получается из графа Γ_1 элементарным вырождением edg .

Во всех перечисленных случаях элементарные вырождения и координаты точки x однозначно определяют образы мобильных вершин графа Γ_0 .

Докажем, что отображение χ_Γ непрерывно в любой точке $x \in \partial M$ (и тогда построенное продолжение не будет зависеть от выбора класса $[f_1] \in E_{\Gamma_1}$ в рассмотренных выше случаях). Пусть $\chi_\Gamma(x) = [f_0]$. Внутренность области возмущения V накрытия f_0 , очевидно, задаёт окрестность \tilde{V} точки $L_\Gamma([f_0])$. Ясно, что $\chi_\Gamma^{-1}(\bar{E}_\Gamma \cap U_{[f_0], V}) = M \cap (\sigma^k)^{-1}(\tilde{V})$. Поскольку отображение σ^k непрерывно, множество $M \cap (\sigma^k)^{-1}(\tilde{V})$ открыто в M . Остается заметить, что $\{\bar{E}_\Gamma \cap U_{[f_0], V}\}_V$ — база в точке $[f_0]$ согласно предложению 2. Поэтому χ_Γ непрерывно в точке x .

Утверждение 3 сразу следует из первых двух. \square

Грань F многогранника M из доказательства теоремы назовём *исключительной*, если она задаётся уравнениями $x_{i1} = x_{i2} = \dots = x_{iv_i} = 0$ или $x_{i1} = x_{i2} = \dots = x_{iv_i} = \pi$, где $i \in A \subset \{1, 2, \dots, a\}$, $A \neq \emptyset$. Исключим из $([0, 2\pi] \times [0, \pi])^k$ множители, отвечающие координатам $\lambda_{ij}, \varphi_{ij}$, $i \in A$, $j = 1, \dots, \nu_i$ и обозначим через pr_A проекцию произведения $([0, 2\pi] \times [0, \pi])^k$ на полученное пространство. Ясно, что каждой исключительной грани отвечает допустимый осоедральный граф, у которого i -е монохромные части для $i \in A$ не содержат мобильных вершин, а после удаления этих частей получается 0-in-граф. Элементарные вырождения таких графов определяются так же, как и элементарные вырождения осографов.

Предложение 4. Для каждой исключительной грани F многогранника M существуют неисключительные грани этой грани, образы которых при проекции pr_A равны $\text{pr}_A(F)$. Это те и только те грани, 0-ип-граф которых получается из указанного выше осоздрального графа грани F удалением i -х монохромных частей для $i \in A$.

Доказательство. Для доказательства достаточно применить ко всем i -м монохромным частям, $i \in A$, графа Γ , отвечающего грани F , элементарные вырождения edg . \square

Замечание 3. Пусть F – любая грань многогранника M . Из доказательства теоремы, очевидно, следует, что если F – неисключительная грань, то сужение отображения χ_Γ на F , а если F – исключительная грань, то отображение $\chi_\Gamma \circ \text{pr}_A^{-1} : \text{pr}_A(F) \rightarrow \bar{X}_{\Sigma, n}$ является характеристическим отображением некоторой клетки, лежащей на границе клетки E_Γ . Кроме того, для исключительной грани F имеем $\dim \text{pr}_A(F) = \dim F - |A|$, где $|A|$ – число элементов множества A . \square

Из доказательства теоремы, очевидно, получаем

Следствие 2. Любое возмущение/вырождение осоздрафа есть композиция элементарных возмущений/вырождений. \square

Следствие 3. Пространство $\bar{X}_{\Sigma, n}$ является конечным клеточным пространством и потому компактным.

Доказательство. Ясно, что при фиксированном n число графов разветвлённых накрытий степени n конечно. \square

Это следствие даёт доказательство компактности пространства $\bar{X}_{\Sigma, n}$, независимое от [6, Theorem 2.5].

Зафиксируем различные точки $w_1, \dots, w_r \in S^2$ и разбиения $\lambda_1, \dots, \lambda_r$ числа n . Положим $w = (w_1, \dots, w_r)$, $\lambda = (\lambda_1, \dots, \lambda_r)$. Пусть $H(\Sigma, n, w, \lambda) \subset X_{\Sigma, n}$ – множество классов разветвлённых накрытий f , для которых все критические значения в $S^2 \setminus \{w_1, \dots, w_r\}$ простые, а λ_i – набор локальных кратностей накрытия f в точках $f^{-1}(w_i)$. При $r = 0$ имеем $H(\Sigma, n, w, \lambda) = H(\Sigma, n)$. Пространство $H(\Sigma, n, w, \lambda)$, вообще говоря, несвязно (см., например, [2, Пример 5.5.8]). Все накрытия в $H(\Sigma, n, w, \lambda)$ имеют одинаковые наборы кратностей k_1, \dots, k_r критических значений w_1, \dots, w_r .

Пусть H_w – любая компонента связности пространства $H(\Sigma, n, w, \lambda)$. Из утверждений 1, 3 теоремы 3 получаем

Следствие 4. Замыкание \bar{H}_w множества H_w в $\bar{X}_{\Sigma, n}$ является клеточным подпространством. \square

Для $[f] \in \bar{H}_w$ включим критические значения w_1, \dots, w_r в множество стационарных значений, а их прообразы – в множество стационарных вершин графа $\Gamma(f)$. Назовём нулевой меридиан и меридианы, проходящие через w_1, \dots, w_r , *стационарными. Монохромной частью* графа $\Gamma(f)$ назовём прообраз открытой дуги меридиана, соединяющей два стационарных значения. Заметим, что преобразование $stat(v)$ (см. п. 3.2) применимо и к новым стационарным вершинам.

4.4 Клеточная структура пространства $\bar{X}_{S^2,2}$

Рассмотрим простейший случай двулистных разветвлённых накрытий сферы сферой и укажем в качестве примера клеточное разбиение пространства $\bar{X}_{S^2,2}$. Обозначим через $P^2 \cong \mathbb{C}P^2$ симметрический квадрат сферы S^2 , т.е. фактор-пространство пространства $(S^2)^2$ по перестановке координат. Согласно [6, п. 3.7], отображение $LL : \bar{X}_{S^2,2} \rightarrow P^2$, для которого образом класса изоморфности $[f]$ накрытия f является множество, состоящее из критических значений этого накрытия, взятых с их кратностями, является гомеоморфизмом. Поэтому клеточную структуру пространства $\bar{X}_{S^2,2}$ можно описать на языке осоздров. Но для полноты мы указываем и соответствующие осографы (см. рис.4). На рисунке клетки обозначены через e_{cr}^i , где i размерность клетки, а cr характеризует набор кратностей критических значений; серыми линиями изображены букеты сфер, жирными линиями – нулевой меридиан и его прообраз, тонкими линиями – остальные меридианы и их прообразы. Числа под меридианами указывают кратности критических значений.

Двумерный остов состоит из трёх касающихся друг друга сфер – замыканий клеток $e_{020}^2, e_{110}^2, e_{011}^2$ и плоского криволинейного треугольника e_{0110}^2 . Точки касания являются 0-клетками; они соединяются кратчайшими дугами на сферах – 1-клетками, являющимися сторонами треугольника e_{0110}^2 .

Клетка e_{ri}^3 примыкает к e_{110}^2, e_{011}^2 и с четырёх сторон к e_{0110}^2 , клетка e_{ii}^3 примыкает к $e_{020}^2, e_{110}^2, e_{011}^2$ и с двух сторон к e_{0110}^2 . Клетка e^4 примыкает с двух сторон как к e_{ri}^3 , так и к e_{ii}^3 .

Подпространство $\bar{X}_{S^2,2} \setminus X_{S^2,2} = e_{020}^2 \cup e_{020}^1 \cup e_{20}^0 \cup e_{02}^0$ является замыканием клетки e_{020}^2 и состоит из классов изоморфности накрытий, область определения которых – особая поверхность – букет двух сфер.

Для сравнения, более экономное клеточное разбиение пространства $\bar{X}_{S^2,2}$, построенное в [5], состоит из 0-клетки, двух 2-клеток, 3-клетки и 4-клетки. Графы соответствующих накрытий лежат на сфере или букете двух сфер и являются прообразами a вертикальных прямых на $\mathbb{C} \cup \infty$, $a = 0, 1, 2$, с лежащими на них критическими значениями накрытия.

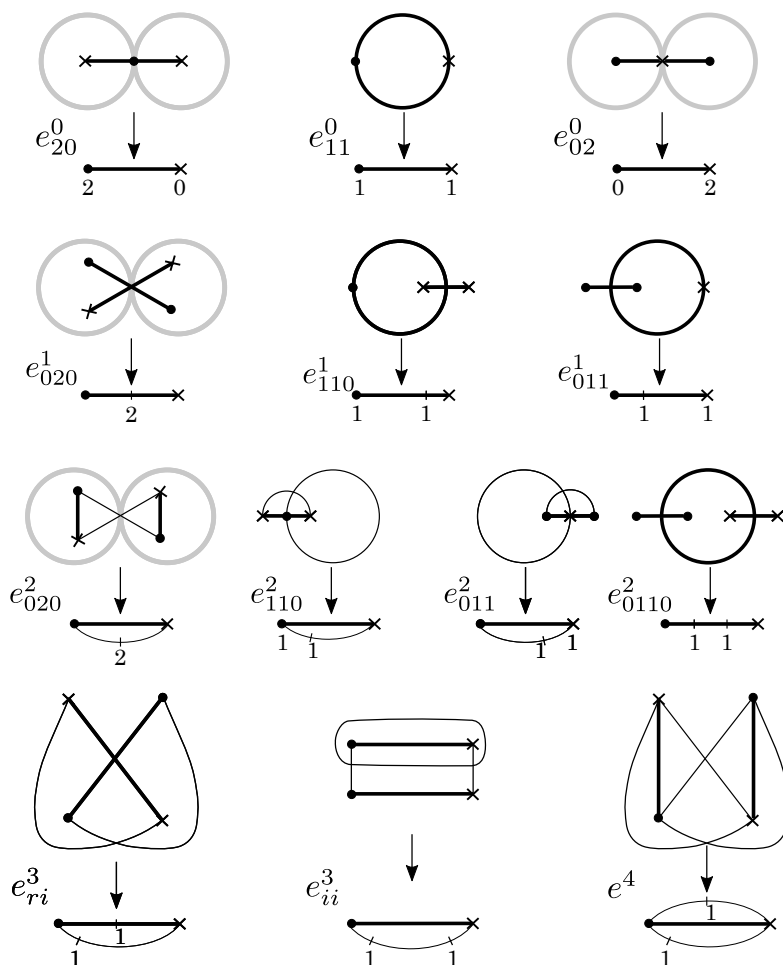


Рис. 4. Клетки пространства $\bar{X}_{S^2, 2}$.

4.5 Отступление: слабо полиэдральное клеточное пространство

Запись $F < M$ будет обозначать то, что многогранник F является гранью многогранника M .

Пусть X – оснащённое клеточное пространство, т.е. клеточное пространство вместе с выбранным для каждой (замкнутой) клетки E характеристическим отображением $\chi_E : M \rightarrow X$. Будем считать, что

- (i) M – компактный выпуклый многогранник размерности $d = \dim E$;
- (ii) для любой собственной грани F многогранника M существует многогранник F' размерности $\leq \dim F$, непрерывное сюръективное

отображение $p_F : F \rightarrow F'$, характеристическое отображение $\chi_{E'} : F' \rightarrow X$ клетки E' , лежащей на границе клетки E , для которых $\chi_E|_F = \chi_{E'} \circ p_F$.

- (iii) $p_{F_1 \cap F_2} = (p_{F_1} \circ p_{F_2})|_{F_1 \cap F_2} = (p_{F_2} \circ p_{F_1})|_{F_1 \cap F_2}$ для граней $F_1, F_2 < M$, так что $(F_1 \cap F_2)' = F_1' \cap F_2'$.

В силу перечисленных условий существует непрерывное сюръективное отображение $p : \partial M \rightarrow M'$ границы многогранника M на объединение $M' = \bigcup p_F(F)$ по всем собственным граням многогранника M .

Пространство X с указанными выше условиями на его оснащение назовём *слабо полиэдральным клеточным пространством*.

В силу замечания 3 и следствия 4 клеточное пространство \bar{H}_w является слабо полиэдральным.

4.5.1 Триангуляция клетки

Предложение 5. Пусть D – компактное выпуклое множество в евклидовом пространстве, $\chi : D \rightarrow E$ – непрерывная сюръекция, являющаяся гомеоморфизмом на внутренности $\text{Int}D$ множества D , и $C = \text{Cyl}\chi|_{\partial D}$ – цилиндр сужения отображения χ . Тогда существует гомеоморфизм $f : D \cup C \rightarrow E$.

Доказательство. Выберем точку $O \in \text{Int}D$ и рассмотрим гомотетию $h_t : D = D_1 \rightarrow D_t$ с центром в точке O и коэффициентом t . Учитывая отождествление $(x, 0)$ с x и $(x, 1)$ с $\chi(x) \forall x \in \partial D$ в C , положим $f(z) = \chi(h_{1/2}(z))$, $z \in D$ и $f(z) = \chi(h_{(1+t)/2}(x))$, $z = (x, t) \in C$. Легко проверить, что f является искомым гомеоморфизмом. \square

Следствие 5. Для построения триангуляции клетки E достаточно триангулировать пространство $M \cup \text{Cyl}p|_{\partial M}$.

Триангуляцию пространства $M \cup \text{Cyl}p|_{\partial M}$ будем строить отдельно для каждой старшей грани $F < M$.

Пусть c_M – центр многогранника M и $c_M * F$ – конус над F . Заменяя при необходимости многогранник $F' = p_F(F)$ подобным, можем считать, что объединение $M_F = (c_M * F) \cup \text{Cyl}p_F$ является выпуклым многогранником. Поэтому $M_F = c_M * (F' \cup \text{Cyl}p|_{\partial F})$. Барицентрические подразделения многогранников F' и ∂F задают стандартную триангуляцию цилиндра отображения $\text{Cyl}p|_{\partial F}$ и вместе с ней – триангуляцию пространства M_F .

Ясно, что на пересечениях старших граней построенные триангуляции совпадают и потому дают триангуляцию пространства $M \cup \text{Cyl}p|_{\partial M}$. Кроме того, в силу условия (iii) п. 4.5 триангуляции клеток индуцируют

совпадающие триангуляции на их пересечениях и потому задают триангуляцию пространства X .

4.5.2 Двойственное разбиение

Двойственным разбиением триангулированного пространства X назовём его разбиение на барицентрические звезды (см. [8, п. 2.2.6.6] или [9, п. 8.3]). Объединение звёзд размерности не выше t назовём t -мерным остовом двойственного разбиения.

Следующее замечание следует из того, что линк симплекса гомеоморфен барицентрическому линку этого симплекса (см. [8, п. 2.2.6.7]).

Замечание 4. Пусть в X линки симплексов, имеющих размерность $\dim X - 2$ линейно связны. Тогда

- Если размерность открытой звезды из двойственного разбиения пространства X не больше 2, то звезда является клеткой.
- Двумерный остов $\text{Sk}_2 DX$ двойственного разбиения пространства X является клеточным пространством.

□

Теорема 4. $\pi_1(X) = \pi_1(\text{Sk}_2 DX)$.

Доказательство. Поскольку X триангулируемо, можно считать, что образ гомотопии петель не заполняет всю d -мерную звезду при $d > 2$. Поэтому гомотопию можно стянуть на $\text{Sk}_2 DX$.

□

4.6 Двойственное разбиение пространства \bar{H}_w

Теорема 5. В пространстве \bar{H}_w линки симплексов, имеющих размерность $\dim_{\mathbb{R}} \bar{H}_w - 2$ линейно связны.

Доказательство. Пусть $s \subset \bar{H}_w$ – симплекс размерности $\dim_{\mathbb{R}} \bar{H}_w - 2$.

Для доказательства достаточно любые два симплекса $s_1, s_2 \subset \bar{H}_w$ размерности $\dim_{\mathbb{R}} \bar{H}_w$, примыкающие к s , соединить цепочкой таких же симплексов, в которой последовательные симплексы пересекаются по граням размерности $\dim_{\mathbb{R}} \bar{H}_w - 1$, примыкающим к s . Таким образом, задача локальна в том смысле, что в малой окрестности точки $[f]$ из открытой части симплекса s достаточно найти путь, соединяющий точки $[f_i] \in s_i, i = 1, 2$. Ясно, что в качестве накрытий f_i можно взять возмущения накрытия f . Ниже мы выберем общую область возмущения

накрытия f , с помощью которой получаются f_1, f_2 . В силу следствия 1 в сфере – образе накрытия f – возможны следующие случаи.

- (i) Имеются два мобильных меридиана, содержащих по два простых мобильных значения.
- (ii) Имеются мобильный меридиан, содержащий два простых мобильных значения, и стационарный меридиан, содержащий (одно) простое мобильное значение.
- (iii) Имеются два стационарных меридиана (возможно совпадающих), содержащих по одному простому мобильному значению.
- (iv) Имеется одно двукратное мобильное значение.
- (v) Имеется одно стационарное значение, возмущение которого даёт два стационарных и одно простое мобильное значение.

Во всех случаях выберем непересекающиеся круги на сфере, каждый из которых содержит ровно одно указанное значение. Эти круги определяют область возмущения накрытия f . В первых четырёх случаях существование пути, соединяющего точки $[f_i] \in s_i, i = 1, 2$, следует из предложения 1, а в последнем случае – из предложения 3. \square

Следующий результат сразу получается из теоремы 5, замечания 4 и теоремы 4.

Следствие 6. *Двумерный остов двойственного разбиения пространства \bar{H}_w является клеточным пространством и фундаментальная группа этого остова совпадает с фундаментальной группой пространства \bar{H}_w .* \square

Предложение 6. *\bar{H}_w является псевдомногообразием, т.е. размерностно однородным, неразветвлённым, сильно связным симплициальным пространством (см. [9, п. 8.1]).*

Доказательство. Пусть $d = \dim \bar{H}_w$. Размерностная однородность следует из того, что любая клетка размерности $< d$, очевидно, лежит на границе d -мерной клетки. В то время как клетка может лежать на границе единственной клетки, любой $(d - 1)$ -мерный симплекс является гранью ровно двух d -мерных симплексов в силу указанного выше построения триангуляции пространства \bar{H}_w , т.е. это пространство является неразветвлённым. Согласно следствию 6, из связности пространства \bar{H}_w следует связность одномерного остова двойственного разбиения этого пространства, что и означает его сильную связность. \square

5 Тригональные кривые

Пусть S_e - (комплексная) поверхность Хирцебруха, т.е. рациональная линейчатая поверхность, $q : S_e \rightarrow \mathbb{C}P^1$ - соответствующее $\mathbb{C}P^1$ -расслоение с исключительным сечением s , $s^2 = -e < 0$. Слои расслоения q называются *вертикальными прямыми*.

При стягивании исключительного сечения в точку поверхность S_e превращается во взвешенную проективную плоскость $P(1, 1, e)$ с координатами x_0, x_1, y , имеющими веса $1, 1, e$ (см., например, [12, п.1.2.3]). В дальнейшем удобно считать, что эти координаты определены на самой поверхности S_e . Кривая $C \subset S_e$, задаваемая уравнением

$$y^3 + b(x)y + w(x) = 0, \quad (1)$$

где $x = (x_0, x_1)$, а b и w - однородные многочлены степеней $2e$ и $3e$, называется *тригональной кривой*. При этом мы допускаем случаи $b = 0$, $w = 0$, но не $b = w = 0$. Многочлены b, w определяются кривой C однозначно с точностью до преобразования

$$(b, w) \mapsto (t^2b, t^3w), \quad t \in \mathbb{C}^*, \quad (2)$$

поэтому множество всех тригональных кривых на S_e есть взвешенное проективное пространство $T_e = P(2, \dots, 2, 3, \dots, 3) = P(2_{2e+1}, 3_{3e+1})$ комплексной размерности $5e + 1$.

Обозначим через $d = 4b^3 + 27w^2$ дискриминант по y уравнения (1).

Обобщением тригональной кривой является *трёхчленная кривая* на поверхности S_e , задаваемая уравнением $y^n + b(x)y^{n-k} + w(x) = 0$, где $1 \leq k < n$, $\text{НОД}(k, n) = 1$, а b и w - однородные многочлены степеней ke и ne . Пусть $d(x) = n^n w^k - (-1)^n (n-k)^{n-k} k^k b^n$ при $n > k$ и $d(x) = w + b$ при $n = k = 1$. Дискриминант по y уравнения (1) равен $w^{n-k-1}d(x)$ (см., напр., [10, Гл.1, п.3.3]). Все результаты, полученные ниже для тригональных кривых, переносятся, с точностью до обозначений, на трёхчленные кривые.

Следующие леммы доказываются стандартным вычислением.

Лемма 1. *Точка $(x, y) \in C$ является особой тогда и только тогда, когда либо $2y^3 = w(x) \neq 0$ и x - кратный корень многочлена d , не являющийся корнем многочленов b, w , либо $y = 0$, x - корень многочлена b и кратный корень многочлена w . \square*

Лемма 2. *Пусть x - общий корень многочленов b, w . Точка $(x, y) \in C$ неособа тогда и только тогда, когда x - простой корень многочлена w . При этом (x, y) является точкой трёхкратного пересечения с вертикальным слоем, называемой точкой вертикального перегиба. \square*

Следуя [11, 3.3.1], назовём неособую тригональную кривую $C \subset S_e$ *общей*, если b, w не имеют общих корней и все корни этих многочленов простые, и *почти общей*, если выполнено только первое из этих двух условий.

5.1 j -инвариант тригональной кривой.

Функция $j_C : \mathbb{CP}^1 \rightarrow \mathbb{CP}^1$, $j_C = \frac{4b^3}{d} = 1 - \frac{27w^2}{d}$, называется j -инвариантом кривой C .

Если b, w не имеют общих корней, то степень отображения j_C равна $6e$. В общем случае эта степень $s = 6e - \deg \text{НОД}(b^3, w^2)$ задаёт стратификацию $\{T_{e,s}\}$ пространства T_e . Неособые кривые старшего страта $T_{e,6e}$ образуют множество всех почти общих кривых.

Предложение 7. *Множество $T_{e,6e}$ связно.*

Доказательство. Множество $T_{e,6e}$ задаётся в связном пространстве T_e неравенством нулю результата многочленов b, w и потому связно. \square

5.2 Кривые с постоянным j -инвариантом.

Следуя [4, п. 3.1.1], назовём кривые $C \in T_{e,0}$, т.е. кривые с постоянным j -инвариантом, *изотривиальными*, а с непостоянным – *неизотривиальными*.

Замечание 5. *Согласно [7], пространство $T_e = \mathbb{P}(2_{2e+1}, 3_{3e+1})$ имеет особенности в точках, у которых либо $2e + 1$ первых, либо $3e + 1$ последних координат равны 0, т.е. в точках, отвечающих тригональным кривым с $b = 0$ или $w = 0$. Поэтому пространство $T_e \setminus T_{e,0}$ неизотривиальных кривых является неособым многообразием.*

Следующее утверждение очевидно.

Предложение 8. *Множество $T_{e,0}$ является объединением подпространств $b = 0, w = 0$ и подмногообразия, состоящего из кривых с $b = \lambda a^2, w = \mu a^3$, где $\lambda, \mu \in \mathbb{C}$ и a – многочлен степени e .* \square

5.3 Данные Римана тригональной кривой

Для неизотривиальной тригональной кривой C в осезде $\Theta(j_C)$ добавим к его стационарным вершинам 0 (\bullet -вершина) и ∞ (\times -вершина) точку 1 и назовём её o -*вершиной*. Обозначим через $[0, \infty]_C$ подграф графа $\Theta(j_C)$, состоящий из нулевого меридиана и лежащих на нём вершин,

включая полюсы. *Графом* $\Gamma(C)$ *тригональной кривой* C назовём граф $\Gamma(j_C) \cup j_C^{-1}([0, \infty]_C)$. При этом все корни многочлена w называются *o-вершинами* и добавляются к стационарным вершинам объединения, а возможные на 0-й монохромной части мобильные вершины степени 2 удаляются. Таким образом, $\Gamma(C)$ – 0-in-граф и осограф.

Напомним, что по определению (см. п. 2.2) индекс точки v на сфере – области определения j -инварианта – равен $\deg_v j_C$. Поэтому индекс мобильной и o-вершины графа $\Gamma(C)$ равен половине её валентности, стационарной – её валентности, делённой на a_{j_C} .

Из определения j -инварианта следует, что для $C \in T_{e,6e}$ индексы \bullet -вершин $\equiv 0 \pmod 3$ и o-вершин $\equiv 0 \pmod 2$.

Пусть $\text{cr}(C)$ – мультимножество, состоящее из всех критических значений функции j_C , взятых с их кратностями, (т.е. функция, задаваемая условием $t \mapsto \sum_{x \in f^{-1}(t)} (\text{ind} x - 1)$, где t – критическое значение функции j_C , а ind – индекс точки x). Пару $(\Gamma(C), \text{cr}(C))$ назовём *данными Римана кривой* C (ср. [2, п. 1.8]).

Пусть Γ – a -0-in-граф и $f : \Gamma \rightarrow \Theta$ – морфизм на 0-in-осоэдр. Одну из внутренних точек нулевого меридиана назовём o-вершиной. Добавим её к стационарным вершинам осоэдра Θ и назовём все её прообразы в Γ стационарными o-вершинами. Граф Γ назовём *o-графом* (точнее, *a-o-графом*). Ясно, что граф тригональной кривой является o-графом. Назовём \bullet -вершину (соответственно, o-вершину) o-графа *исключительной* (ср. [4, 3.1.2]), если её индекс $\not\equiv 0 \pmod 3$ (соответственно, $\not\equiv 0 \pmod 2$).

Мультимножество cr точек сферы и o-граф Γ назовём *согласованными*, если существует морфизм $f : \Gamma \rightarrow \Theta$, где Θ – осоэдр, определяемый мультимножеством cr , причём кратность каждой точки $t \in \text{cr}$ равна $\sum_{x \in f^{-1}(t)} (\text{ind} x - 1)$.

Следующая конструкция восстанавливает неизотривиальную тригональную кривую по её данным Римана. Пусть задано натуральное число e , a -o-граф Γ с $(a + 1)s$ гранями, где $s \leq 6e$, и согласованное с Γ мультимножество cr точек сферы. Поскольку Γ – осограф, по теоремам 1, [1, теорема 3] существует рациональная функция $j = b_1/d_1 = 1 - w_1/d_1$ степени s с $\text{НОД}(b_1, w_1) = 1$, с $\Gamma(j) = \Gamma$ и с мультимножеством критических точек cr . Поскольку j не постоянна, согласно [4, теорема 3.20, замечание 3.21] существует многочлен g , все корни которого с их кратностями – это исключительные вершины графа Γ , и существуют многочлены b, w с $b_1 g = 4b^3$, $w_1 g = 27w^2$, $\deg b = 2e$, $\deg w = 3e$. Они задают неизотривиальную тригональную кривую $C \in T_{e,s}$, для которой $j = j_C$, $g = \text{НОД}(b^3, w^2)$ и $\Gamma = \Gamma(C)$.

Кривая C единственна с точностью до действия группы $G = PGL(2, \mathbb{C})$,

а многочлены b, w определены однозначно с точностью до преобразования (2). Поэтому множество данных Римана тригональных кривых можно отождествить с фактор-пространством $RD_e = (T_e \setminus T_{e,0})/G$. Ясно, что его комплексная размерность равна $5e - 2$. Обозначим через $rd : T_e \setminus T_{e,0} \rightarrow RD_e$ сужение на $T_e \setminus T_{e,0}$ проекции $pr : T_e \rightarrow T_e/G$.

Следующий пример показывает, что пространство данных Римана не хаусдорфово. Возьмём данные Римана с графом, указанным на рис. 6.a (на этом и следующих рисунках считается, что граф $\Theta(j)$ раскрашен как на рис. 5), и устремим $j(x_2)$ к $j(x_1) = 0$. В пределе получим данные

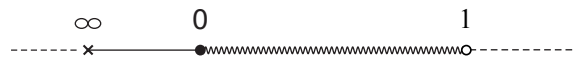


Рис. 5.

Римана как с графом 6.b, так и с графом 6.c. Действительно, если для тригональной кривой C на рис. 6.a считать, что \bullet -вершина x_1 равна 0, \circ -вершина внутри кривой S_1 равна t^2 , а вторая \bullet -вершина находится на ∞ , то в аффинных координатах $j_C(x) = \frac{4x^3}{4x^3 + 27w_0(x-t^2)^2(x-\lambda)^2(x-\mu)^2}$. С другой стороны, j -инвариант кривой C_t , полученной из C дробно-линейным преобразованием $x \mapsto t^2x/((1-t)x+t)$ и потому лежащей вместе с C в одной орбите группы $PGL(2, \mathbb{C})$, равен $\frac{4x^3(x-tx+t)^3}{4x^3(x-tx+t)^3 + 27w_0(x-1)^2(\lambda x + o(t))^2(\mu x + o(t))^2}$. Поэтому при $t \rightarrow 0$ эта орбита приближается к кривым с графами 6.b и 6.c.

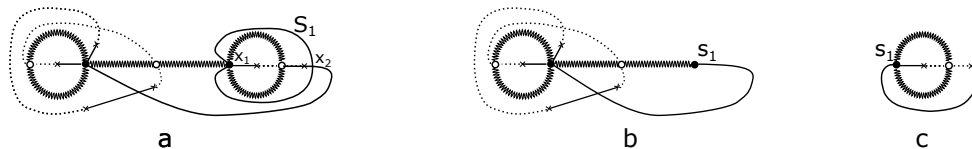


Рис. 6.

5.4 Компактификация старшего страта пространства данных Римана тригональных кривых

Назовём поверхность, являющуюся вырождением сферы, *поверхностью рода 0*. Свяжем с такой поверхностью граф, вершинами которого являются особые точки поверхности (s -вершины) и её компоненты (c -вершины), а рёбра соединяют компоненты с лежащими на ней особыми

точками. Для особой поверхности этот граф является двудольным. Назовём его *cs-графом поверхности рода 0*.

Обозначим через F_n пространство комплексных рациональных функций $f : \mathbb{CP}^1 \rightarrow \mathbb{CP}^1$ степени n и через \mathcal{X}_n – фактор-пространство $F_n/PGL(2, \mathbb{C})$. Пусть J_e – множество классов изоморфности j -инвариантов кривых из $T_{e,6e}$. В силу сказанного в п. 5.3 и [1, теорема 3], оно гомеоморфно $rd(T_{e,6e})$ и $J_e \subset \mathcal{X}_{6e}$. Замыкание $\bar{J}_e \subset \bar{\mathcal{X}}_{6e}$ этого множества состоит из классов $[j]$, где j – разветвлённое накрытие степени $6e$, в графе $\Gamma(j)$ которого число \bullet -вершин $\leq 2e$, а число \circ -вершин $\leq 3e$. Поэтому \bar{J}_e – *клеточное подпространство пространства $\bar{\mathcal{X}}_{6e}$* в силу следствия 4, поскольку $\bar{J}_e = \bar{H}_w$, где $w=(\bullet, \circ)$.

Определим теперь кривую C , составленную из тригональных кривых, базой которой является особая рациональная кривая. Пусть эта рациональная кривая распадается на неприводимые компоненты L_1, \dots, L_m . Для $i = 1, \dots, m$ рассмотрим поверхности Хирцебруха S_{e_i} с базой L_i и тригональные кривые $C_i \subset S_{e_i}$, удовлетворяющие следующим условиям: 1) над общей точкой компонент L_i, L_l имеется общий слой поверхностей S_{e_i}, S_{e_l} , который пересекает каждую из кривых C_i, C_l в их общей трёхкратной особой точке $(x_{il}, 0)$; 2) j -инварианты кривых C_i, C_l совпадают в точке x_{il} . Легко проверить, что при этих условиях точка x_{il} является общим корнем многочленов $\text{НОД}(b_i^3, w_i^2), \text{НОД}(b_l^3, w_l^2)$, где b_i, w_i и b_l, w_l – многочлены, задающие кривые C_i и C_l . Назовём кривую $C = \bigcup_{i=1}^m C_i$ *составной (точнее, m -составной) тригональной кривой* с базой $L = \bigcup_{i=1}^m L_i$. Тригональная кривая с неособой базой является 1-составной тригональной кривой.

Склеивание j -инвариантов кривых C_i даёт j -инвариант $j_C : L \rightarrow \mathbb{CP}^1$ кривой C . Поэтому определены данные Римана составной тригональной кривой. *Степень составной тригональной кривой* называется степень отображения j_C . Возмущением/вырождением тригональной кривой называется возмущение/вырождение её j -инварианта.

Пусть $\bar{T}_{e,6e}$ – множество составных тригональных кривых степени $6e$. В силу вышесказанного, $rd(\bar{T}_{e,6e})$ является компактификацией пространства $rd(T_{e,6e})$. Мы отождествляем J_e с $rd(T_{e,6e})$ и \bar{J}_e с $rd(\bar{T}_{e,6e})$.

Согласно леммам 1, 2, точки вертикального перегиба тригональной кривой являются неособыми, но кривая с такими точками не лежит в $T_{e,6e}$. Если остальные точки кривой неособы, она является компонентой составной тригональной кривой $C \in \bar{T}_{e,6e} \setminus T_{e,6e}$, для которой *cs-граф* её базы L является звёздным с *простейшими концами*, т.е. его концевые вершины отвечают компонентам кривой L , на которых j_C имеет степень 4 (см. рис. 7 графа тригональной кривой, вырождением которой является одна из таких составных тригональных кривых). Все кривые в $\bar{T}_{e,6e} \setminus T_{e,6e}$,

cs -граф которых отличен от описанного, назовём *особыми составными тригональными кривыми* и добавим их к особым кривым страта $T_{e,6e}$, получив множество ST_e особых кривых пространства $\bar{T}_{e,6e}$.

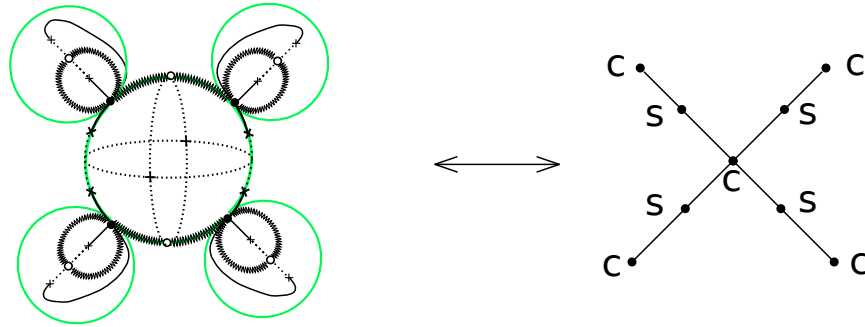


Рис. 7.

Предложение 9. Множество $rd(ST_e)$ является клеточным подпространством пространства $rd(\bar{T}_{e,6e})$.

Доказательство. Кривая $C \in \bar{T}_{e,6e}$ является особой, если её граф имеет кратные корни дискриминанта d или её cs -граф не является звёздным с простейшими концами. Граничные точки открытой клетки в $rd(ST_e)$, состоящей из классов особых кривых, отвечают вырождениям этих кривых. Такое вырождение не устраняет кратные корни дискриминанта и не превращает cs -граф кривой в звёздный граф с простейшими концами, поэтому граница клетки также лежит в $rd(ST_e)$. \square

5.5 Двойственное разбиение пространства данных Римана

Теорема 6. Линк 2-мерной звезды из двойственного разбиения пространства $rd(\bar{T}_{e,6e})$ линейно связан.

Доказательство. В теореме 5 в качестве \bar{H}_w можно взять $rd(\bar{T}_{e,6e})$ \square

Следствие 7. Двумерный остов двойственного разбиения фактор-пространства почти общих кривых (соответственно, неособых кривых) является клеточным пространством и фундаментальная группа этого остова совпадает с фундаментальной группой соответствующего фактор-пространства.

Доказательство. Все операции, описанные в доказательстве теоремы 5, с помощью которых точка $[f_1]$ соединяется с $[f_2]$ на границе звезды, сохраняют свойство кривой быть почти общей (соответственно, неособой). Поэтому следствие 7 получается из теоремы 6 так же, как следствие 6 получается из теоремы 5, замечания 4 и теоремы 4. \square

Авторы выражают благодарность рецензенту за советы и замечания, позволившие устранить недочеты, имевшиеся в первоначальном варианте статьи.

Список литературы

- [1] Звонилов В.И., Оревков С.Ю., *Компактификация пространства разветвлённых накрытий двумерной сферы*, Комплексный анализ и его приложения, Сборник статей. К 100-летию со дня рождения Бориса Владимировича Шабата, 85-летию со дня рождения Анатолия Георгиевича Витушкина и 85-летию со дня рождения Андрея Александровича Гончара, Тр. МИАН, **298**, МАИК «Наука/Интерпериодика», М., 2017, 127–138; Proc. Steklov Inst. Math., 298 (2017), 118–128.
- [2] Звонкин А.К., Ландо С.К., *Графы на поверхностях и их приложения*, МЦНМО, М., 2010.
- [3] Orevkov S. Yu., *Riemann existence theorem and construction of real algebraic curves*, Annales de la Faculté des Sciences de Toulouse **12** (2003), N. 4, 517–531.
- [4] Degtyarev A., *Topology of algebraic curves. An approach via dessins d'enfants*, De Gruyter Studies in Mathematics, **44**, Walter de Gruyter & Co., Berlin, 2012.
- [5] Diaz S., Edidin D., *Towards the homology of Hurwitz spaces*, J. Differential Geom. **43** (1996), N. 1, 66–98.
- [6] Natanzon S., Turaev V., *A compactification of the Hurwitz space*, Topology **38** (1999), N. 4, 889–914.
- [7] Dimca A., Dimiev S., *On analytic coverings of weighted projective spaces*, Bull. London Math. Soc. **17** (1985), 234–238.
- [8] Рохлин В.А., Фукс Д.Б., *Начальный курс топологии*, Наука, М., 1977.

- [9] Виро О.Я., Фукс Д.Б., *Гомологии и когомологии*, Итоги науки и техн. ВИНТИ. Совр. пробл. матем. Фундам. направл. **24** (1988), 123–240.
- [10] Прасолов В.В. *Многочлены*, МЦНМО, М., 1999.
- [11] Degtyarev A., Itenberg I., Kharlamov V., *On deformation types of real elliptic surfaces*, Amer.J.Math. **130** (2008), N.6, 1561–1627.
- [12] Dolgachev I., *Weighted projective varieties*, Lecture Notes in Math., 1982, vol.956, Springer-Verlag, p.34-71.